

Mécanique des systèmes

Version 2024

Etude n°3

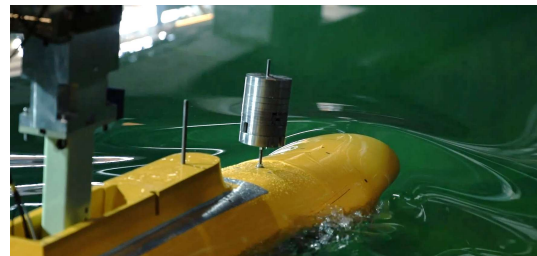
Cette étude porte sur les transmetteurs.

C'est le plus grand bassin d'Europe avec ses 545 m de long, 15m de large et 7m de fond et près de 60 000 m³ d'eau.

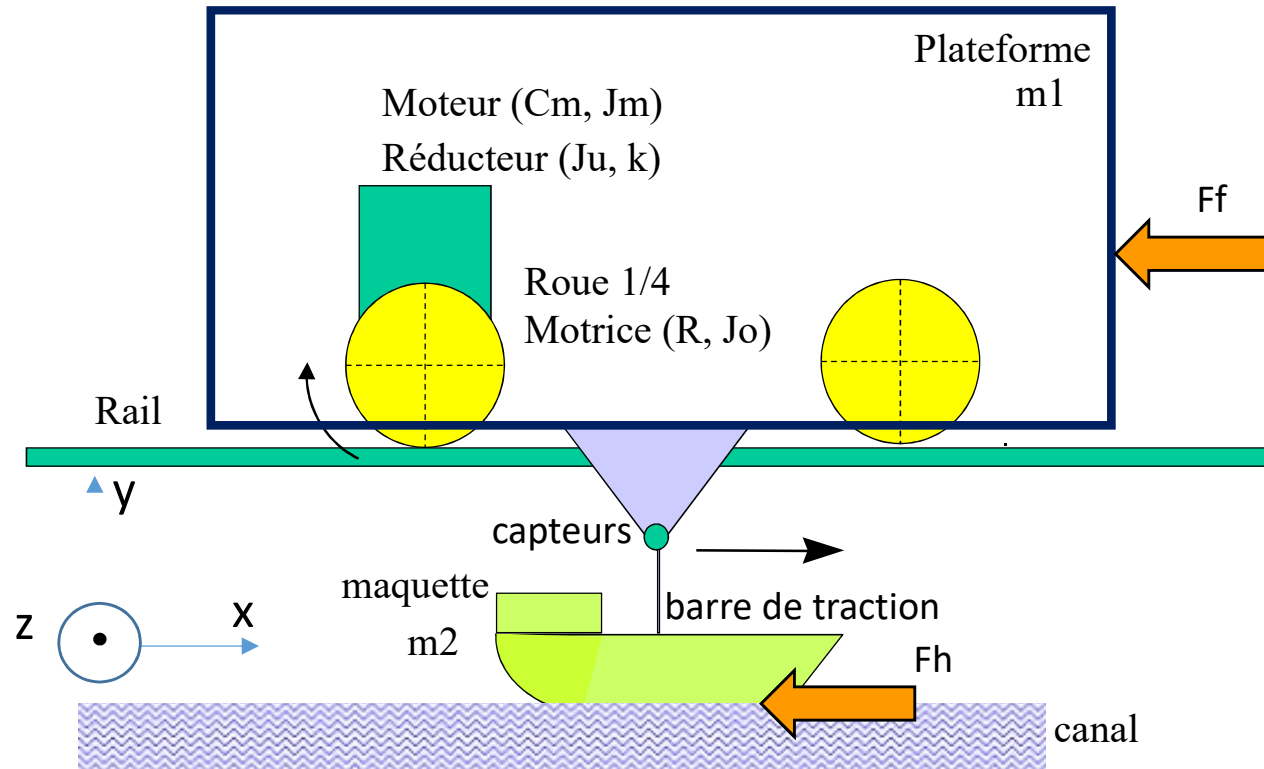
Une plate-forme de 120 tonnes circulant sur rails est capable de traîner des modèles jusqu'à 12m/s. De plus on peut y générer une houle de plus de 1m.



Bassin d'essais des carènes de Val de Reuil (1987)

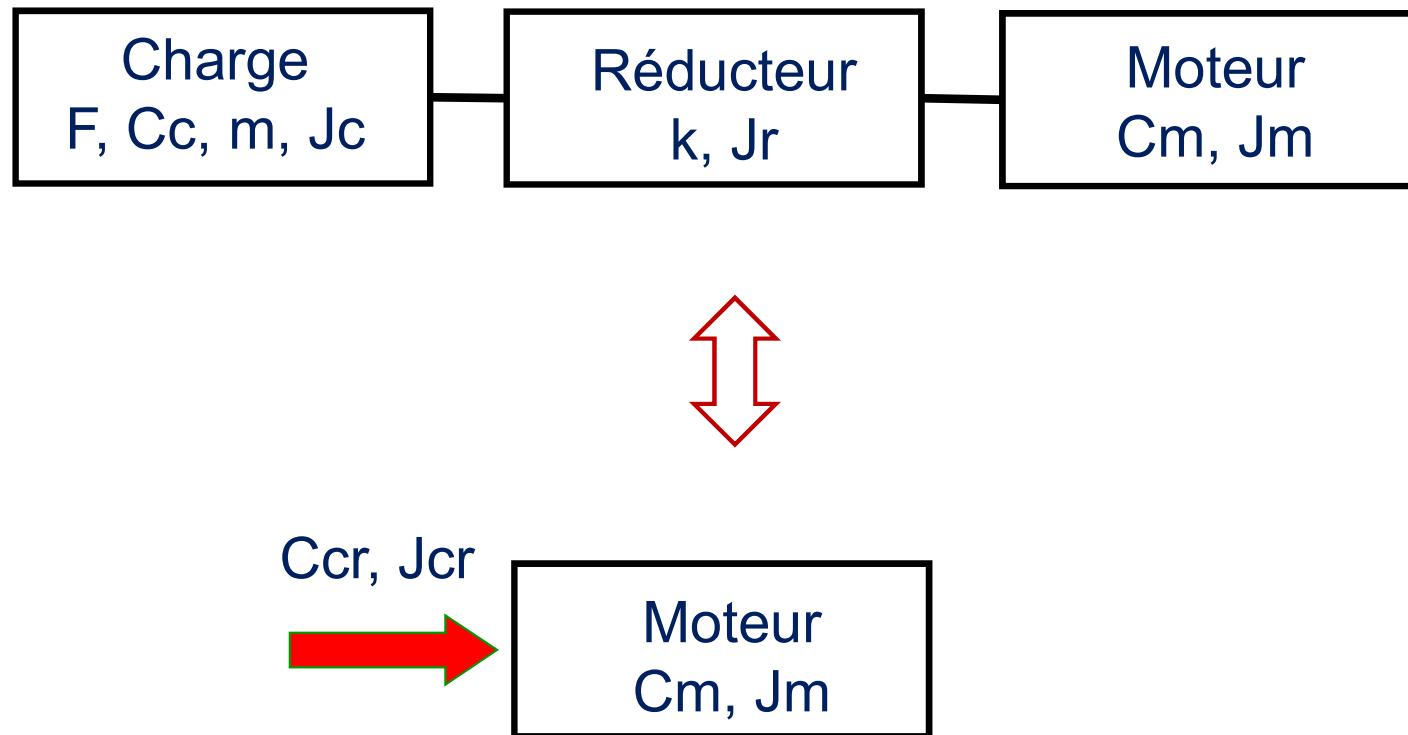


Etude n°3



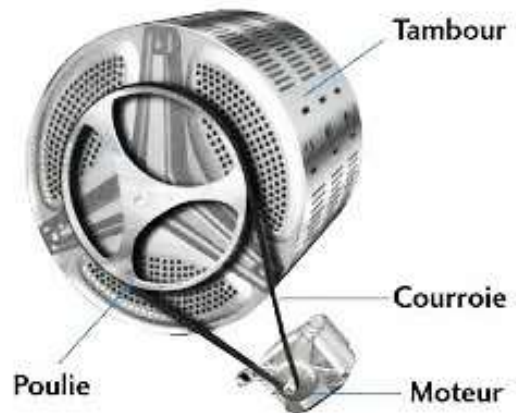
Etude n°3

Système ramené sur axe moteur

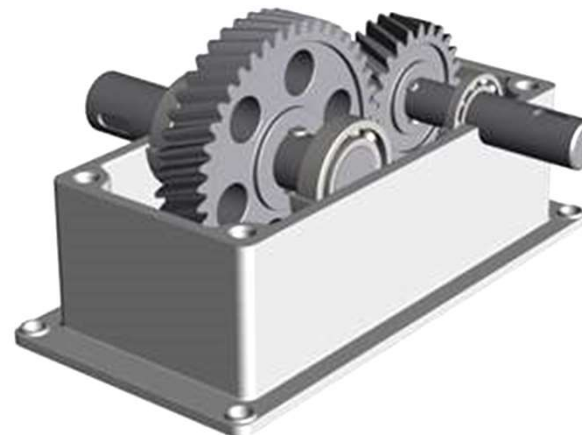


Il faut savoir ramener la charge et son inertie sur l'axe du moteur.

Etude n°3



*Transmission à axes //
non inverseuse, réversible, rapport non garanti*



*Transmission à axes //
inverseuse et réversible, rapport garanti*



*Transmission à axes //
non inverseuse, réversible, rapport garanti*



*Transmission à axes croisés
irréversible, rapport garanti*

Etude n°3

Réversibilité

De réducteur, le transmetteur peut être transformé en multiplicateur (en inversant entrée et sortie) et réciproquement.

Garantie du rapport

La synchronisation des arbres entrée-sortie n'est pas assurée si la transmission est réalisée par **adhérence uniquement**. La synchronisation est assurée si la transmission est réalisée par **obstacle notamment**. La transmission peut-être mixte.

Géométrie

Les axes entrée – sortie peuvent être parallèles ou perpendiculaires ou orthogonaux.

Inversion

L'arbre de sortie tourne en sens inverse de l'arbre d'entrée.

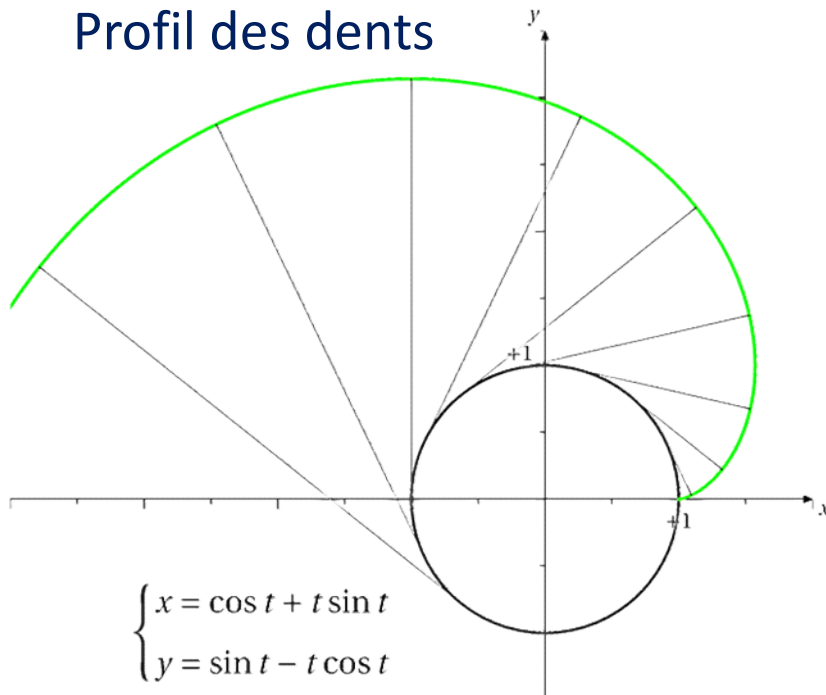
16

Combinaisons possibles !

Etude n°5

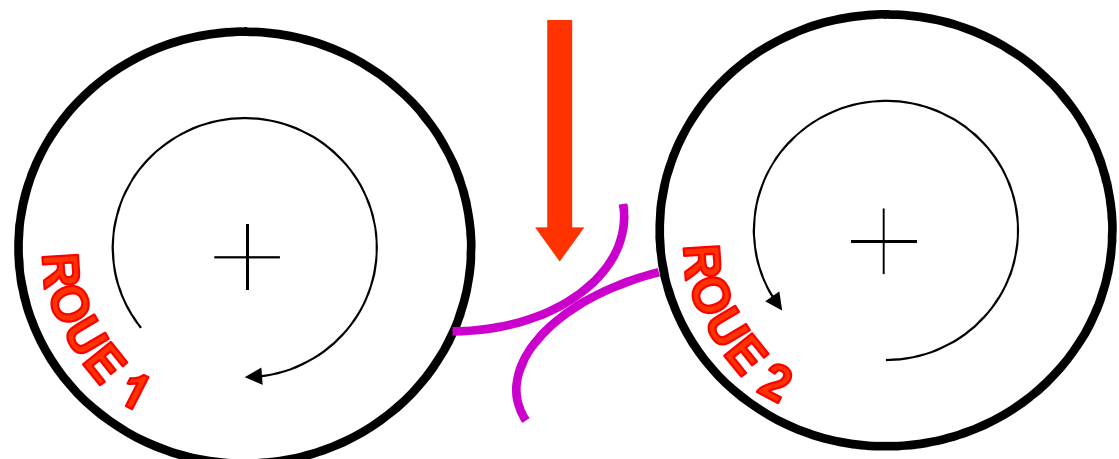
Transmission par roue dentée (obstacle)

Profil des dents



Développante de cercle

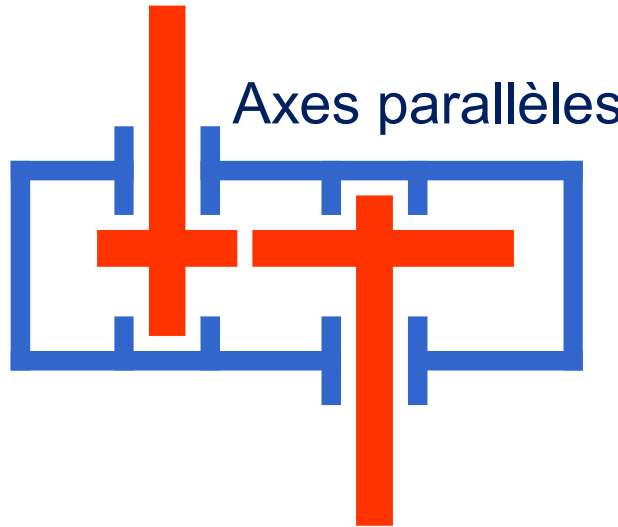
Les profils roulent l'un sur l'autre et ne glissent pas.



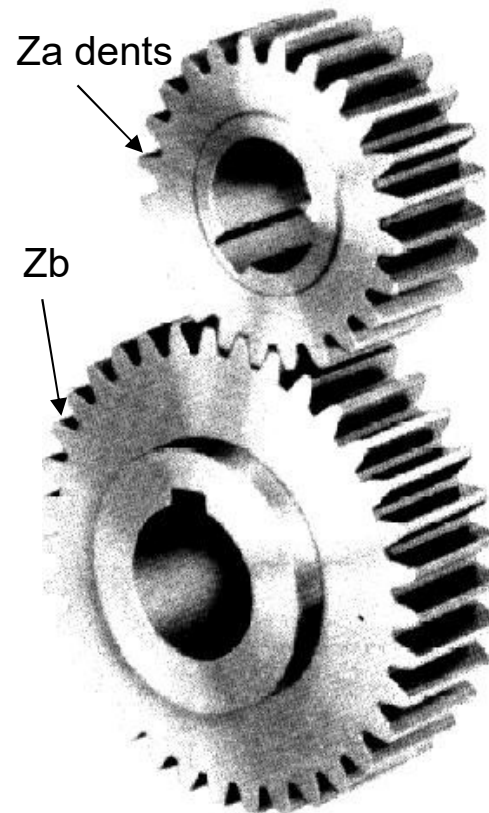
De ce fait le rendement moyen d'un engrenage est correct :
 $\eta = 0,95 \text{ à } 0,98$ par étage.

Etude n°3

Transmission par roue dentée (obstacle)

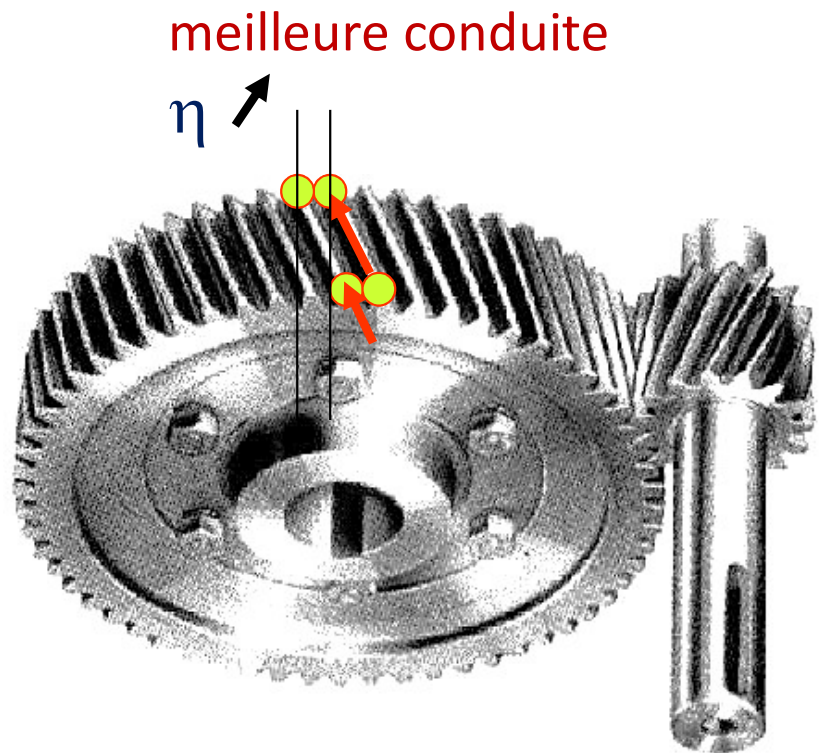


$$\Omega_a \cdot Z_a = \Omega_b \cdot Z_b$$



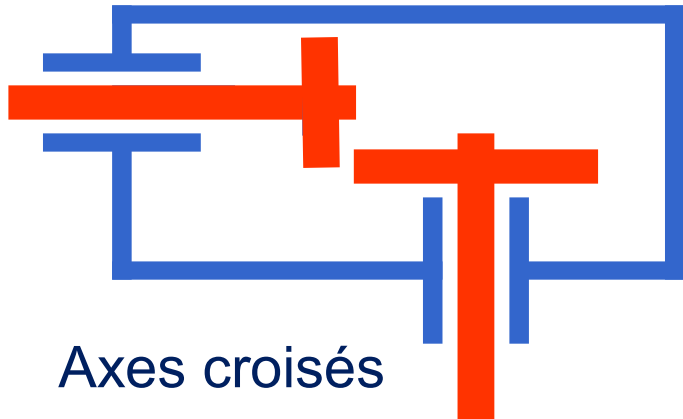
Denture droite

Fonctionnement plus ou moins bruyant
Faibles entraxes
Usure quasi nulle
Excellent rendement ($\eta = 0,99 !$)

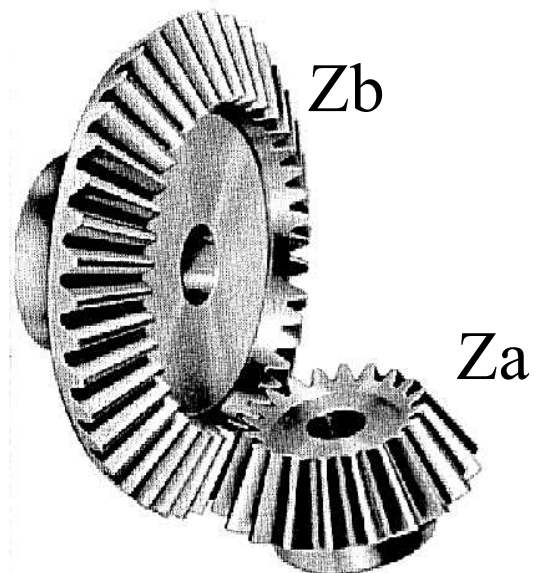


Denture hélicoïdale

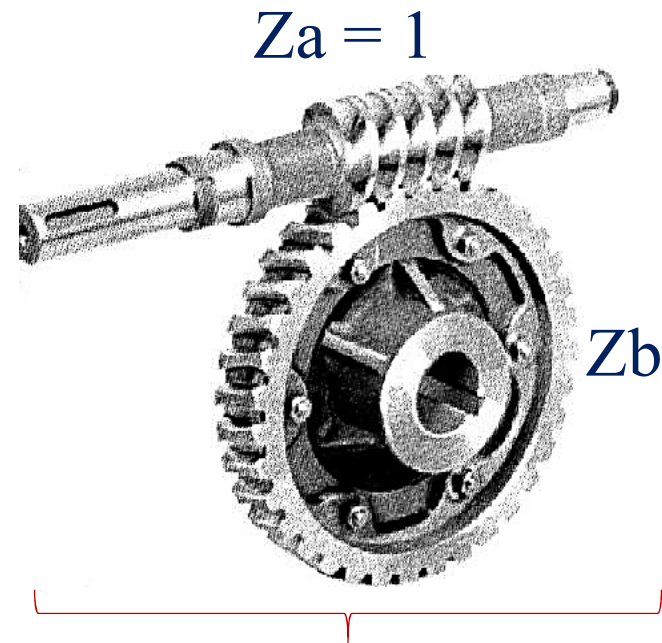
Etude n°3



Axes croisés



Roues coniques



Cas particulier : roue et vis sans fin

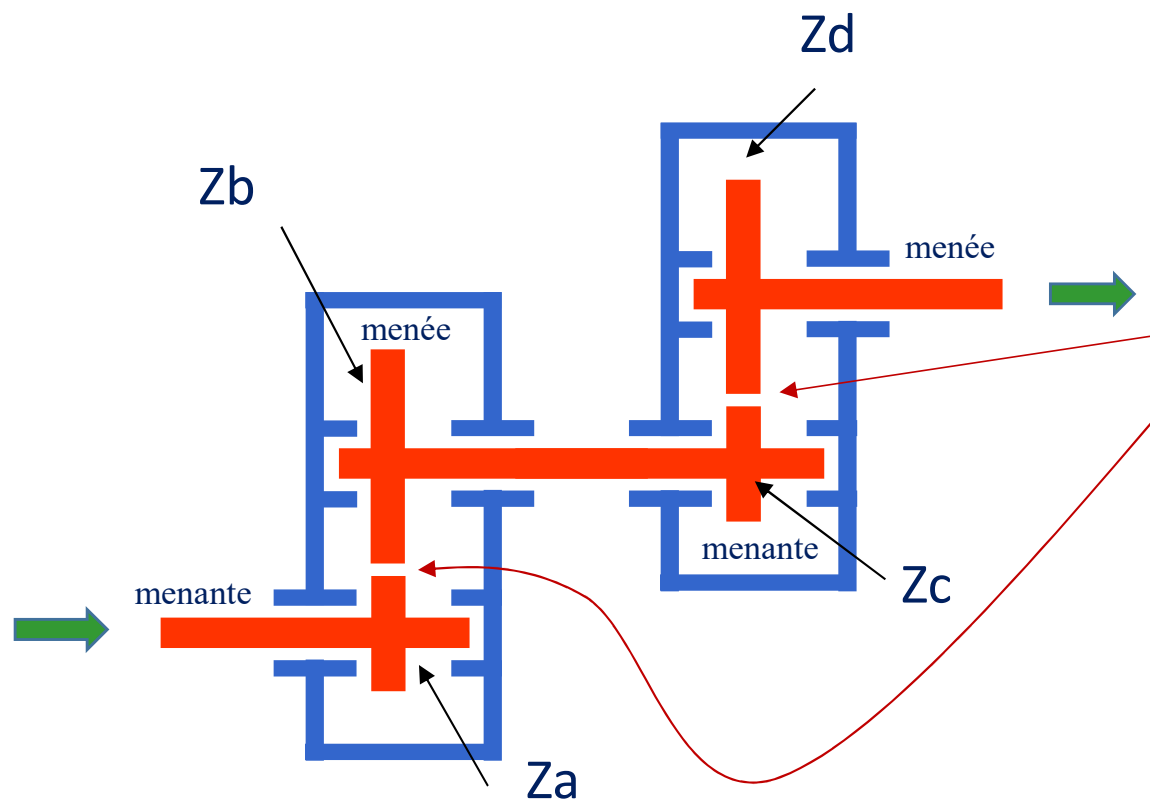
$Z_{vis} = 1 \rightarrow$ Rapport important



Glissement $\Leftrightarrow \eta \downarrow \downarrow$

Etude n°3

Transmission multi-étagée



Rapport étage 1 Rapport étage 2

$$k = \left(-\frac{Z_a}{Z_b} \right) \cdot \left(-\frac{Z_c}{Z_d} \right)$$

n = nombre de contacts extérieurs (ici 2)

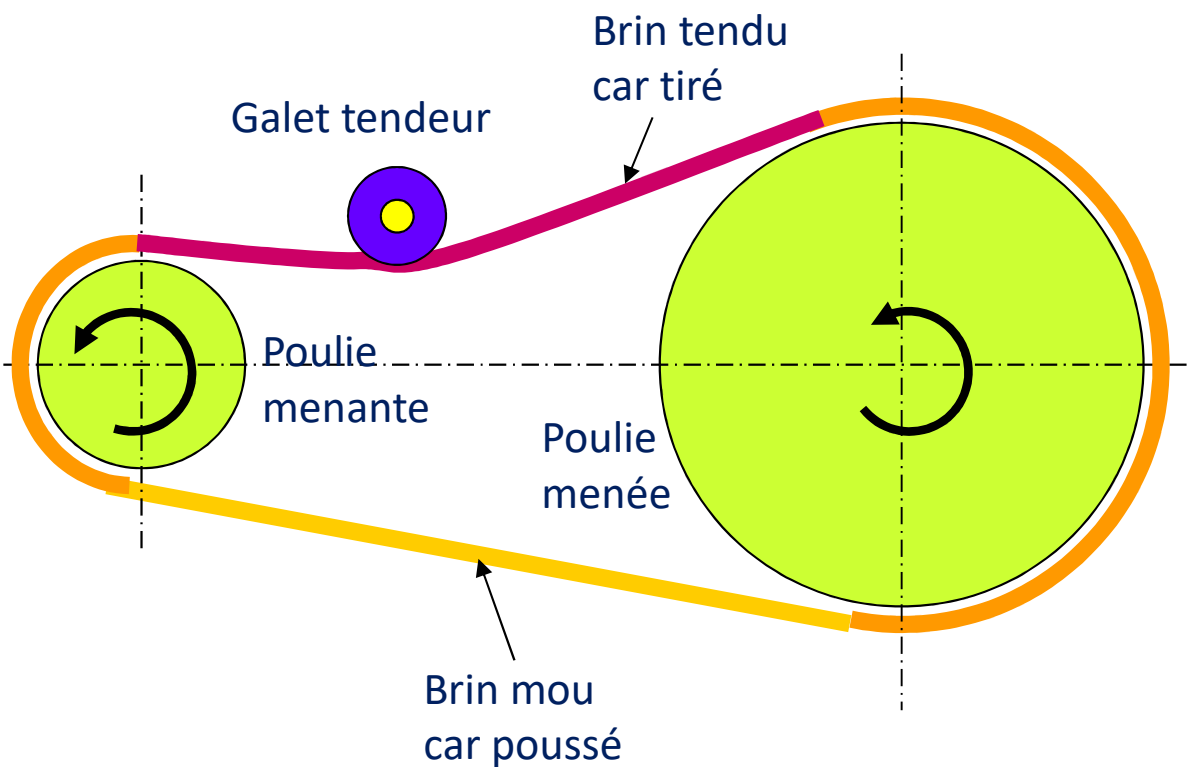
$$k = (-1)^n \frac{\prod Z_{\text{menantes}}}{\prod Z_{\text{menées}}}$$

Si < 0 , inverseur

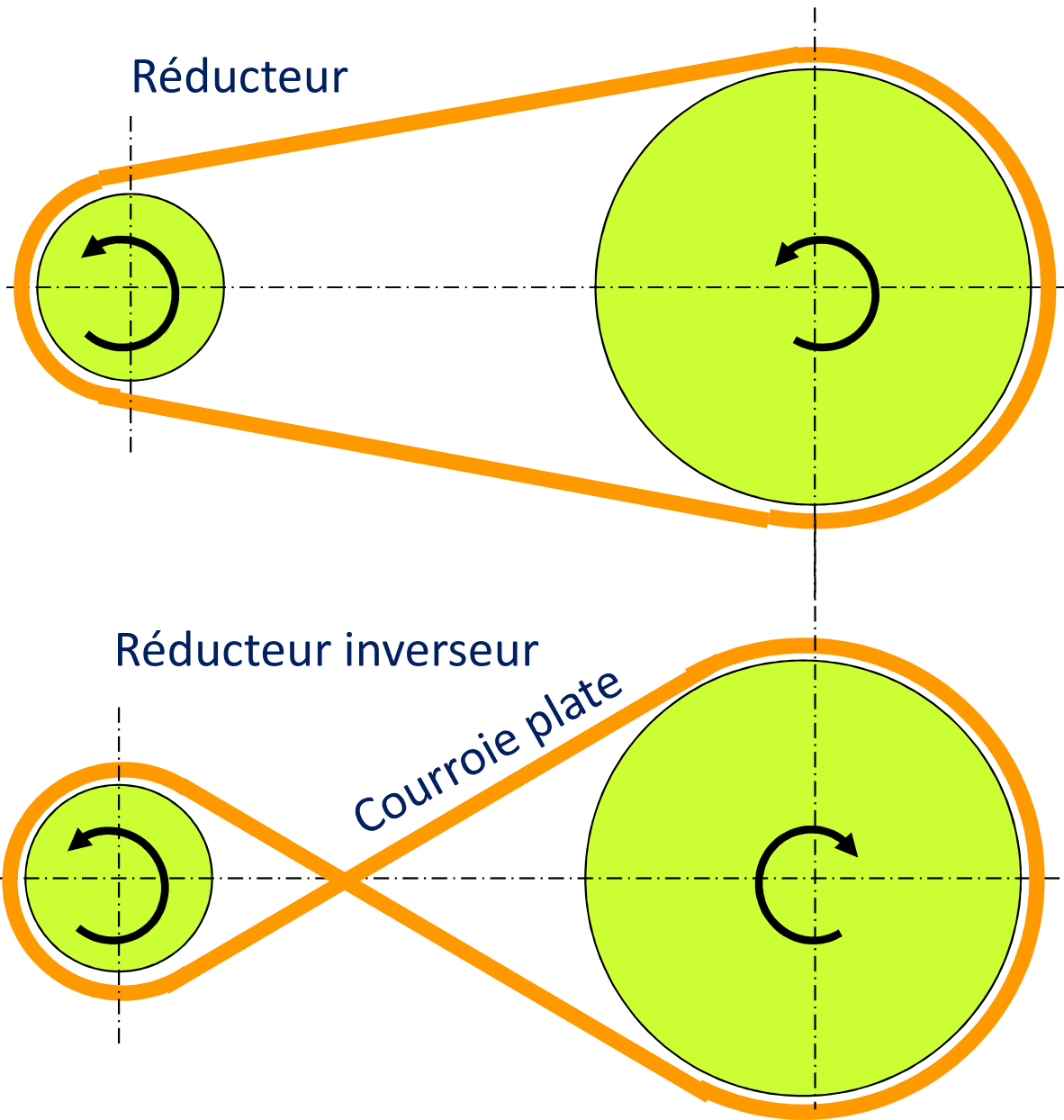
\prod = produit

Etude n°3

Transmission par courroie (adhérence)



Etude n°3

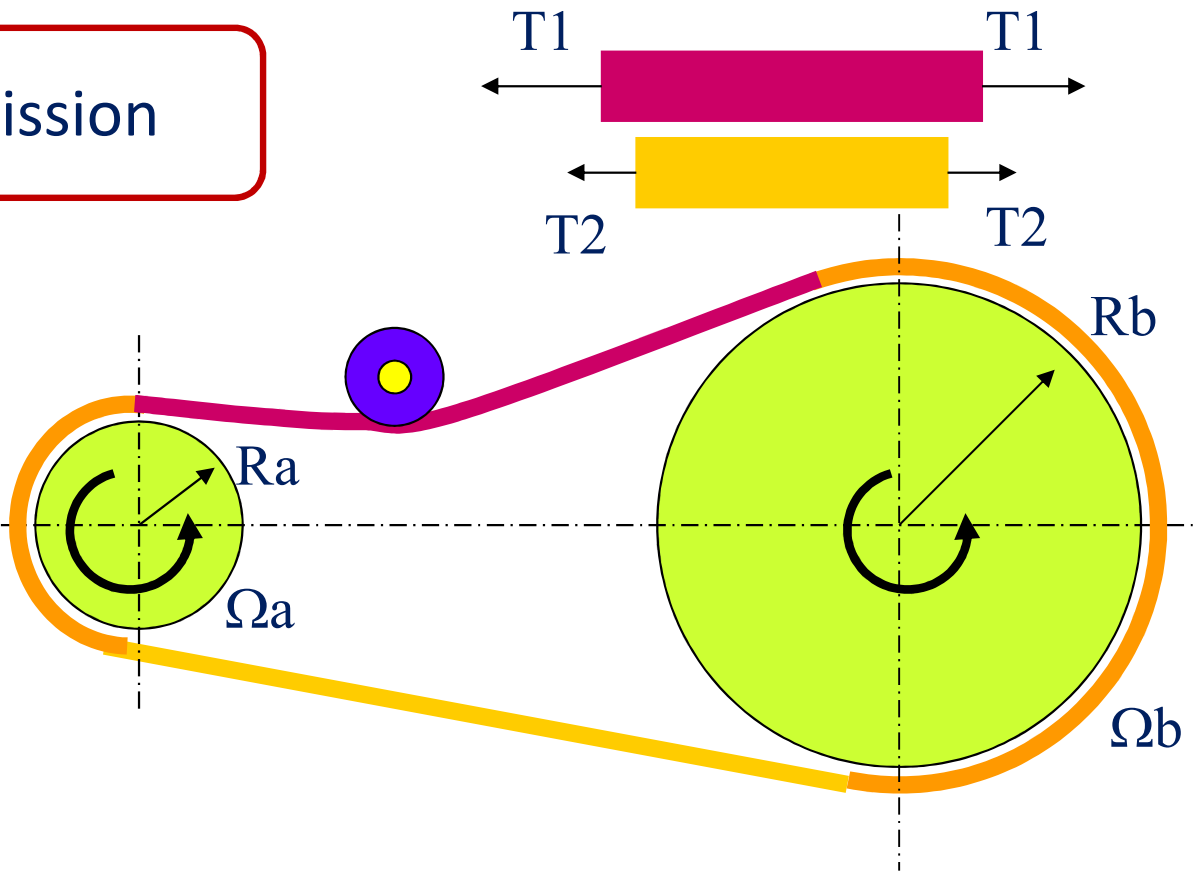


Etude n°3

Calcul du rapport de transmission

Usure due au glissement issu de la variation de tension : $\eta < 0,95$.

Possibilité d'entraxe important.
Fonctionnement silencieux.



*Courroie lisse
Ici trapézoïdale*



$$\Omega_a \cdot R_a = \Omega_b \cdot R_b$$



Courroie crantée

$$\Omega_a \cdot Z_a = \Omega_b \cdot Z_b$$

Etude n°3

Couple sur arbre de sortie



Rapport de transmission k

$\Omega_c = k \cdot \Omega_m \rightarrow k < 1$ si réducteur

Si $P_m = P_c (\eta=1)$, alors

$$C_c = C_m / k$$

Le transmetteur permet de réaliser une adaptation de couple et de vitesse.

Etude n°3

Inertie de la charge ramenée sur le moteur



Considérer $\eta = 1$

Charge en rotation

$$Ecc = \frac{1}{2} \cdot Jc \cdot \Omega c^2$$

$$Ecc = \frac{1}{2} \cdot Jcr \cdot \Omega m^2$$

On choisit pour indice l'arbre sur lequel on ramène...

Si $\Omega c = k \cdot \Omega m$

Alors $\frac{1}{2} \cdot Jcr \cdot \Omega m^2 = \frac{1}{2} \cdot Jc \cdot \Omega c^2 = \frac{1}{2} \cdot Jc \cdot k^2 \cdot \Omega m^2$

\Leftrightarrow

$$Jcr = Jc \cdot k^2$$

Noter le rôle de k^2 !

C'est ce qui permet d'effondrer l'inertie charge vue depuis le moteur.
→ Permet le démarrage du moteur à forte accélération [$J \cdot d\omega/dt$])

Etude n°3

Inertie de la charge ramenée sur le moteur



Considérer $\eta = 1$

Charge en translation

$$E_{cc} = \frac{1}{2} \cdot m_c \cdot V_c^2$$

$$E_{cc} = \frac{1}{2} \cdot J_{cr} \cdot \Omega_m^2$$

On choisit pour indice l'arbre sur lequel on ramène...

$$\text{Si } V_c = R \cdot \Omega_c = k \cdot R \cdot \Omega_m$$

$$\text{Alors } \frac{1}{2} \cdot J_{cr} \cdot \Omega_m^2 = \frac{1}{2} \cdot m_c \cdot V_c^2 = \frac{1}{2} \cdot m_c \cdot k^2 \cdot R^2 \cdot \Omega_m^2$$

\Leftrightarrow

$$J_{cr} = m_c \cdot R^2 \cdot k^2$$

Noter le rôle de k^2 !

C'est ce qui permet d'effondrer l'inertie charge vue depuis le moteur.
→ Permet le démarrage du moteur à forte accélération [$J \cdot d\omega/dt$])

Etude n°3

Couple charge ramené sur le moteur en présence d'un réducteur

$$P_m = P_c$$

$$\Leftrightarrow C_m \cdot \omega_m = C_c \cdot \omega_c = C_{cr} \cdot \omega_m$$

$$\Leftrightarrow C_{cr} = C_c \cdot \frac{\omega_c}{\omega_m}$$

$$\Leftrightarrow C_{cr} = C_c \cdot k$$

ramené

*On choisit pour indice l'arbre
sur lequel on ramène...*

Vu depuis le moteur le couple charge est diminué par la présence du réducteur ($k < 1$).

Etude n°3

PFD appliqué au rotor d 'un moteur

Ccr, Jcr



Moteur
Cm, Jm

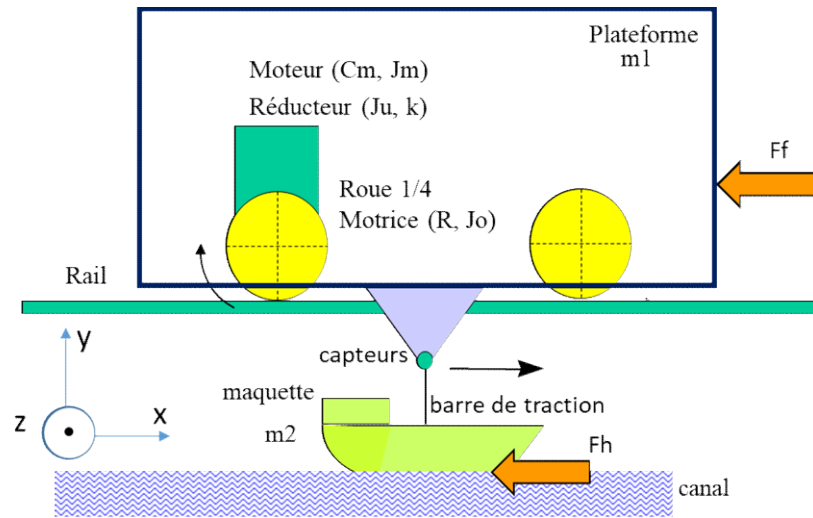
$$Cm - Ccr = (Jm + Jcr) \cdot \frac{d\omega_m}{dt}$$

par exemple

$$Cm - k \cdot Cc = (Jm + Jc \cdot k^2) \cdot \frac{d\omega_m}{dt}$$

$$Cm - k \cdot Cc = (Jm + m \cdot R^2 \cdot k^2) \cdot \frac{d\omega_m}{dt}$$

Etude n°3



$$m_1 = 120\,000 \text{ kg}$$

$$m_2 = 100 \text{ kg}$$

$$F_h = 150 \text{ N}$$

$$F_f = 1200 \text{ N}$$

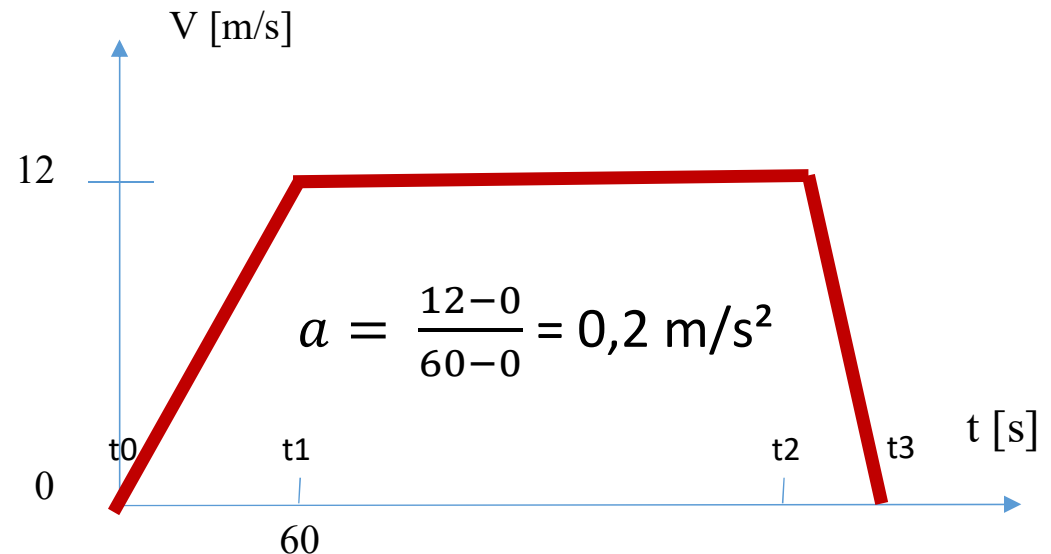
$$R = 0,2 \text{ m}$$

$$k = 1/10$$

$$J_m = 0,5 \text{ kg.m}^2$$

$$J_u = 0,1 \text{ kg.m}^2$$

$$J_o = 2 \text{ kg.m}^2$$



$$V = \omega_o \cdot R \rightarrow \frac{d\omega o}{dt} = \frac{1}{R} \cdot \frac{dV}{dt}$$

$$k = \frac{\omega o}{\omega m} \rightarrow \frac{d\omega m}{dt} = \frac{1}{R \cdot k} \cdot \frac{dV}{dt}$$

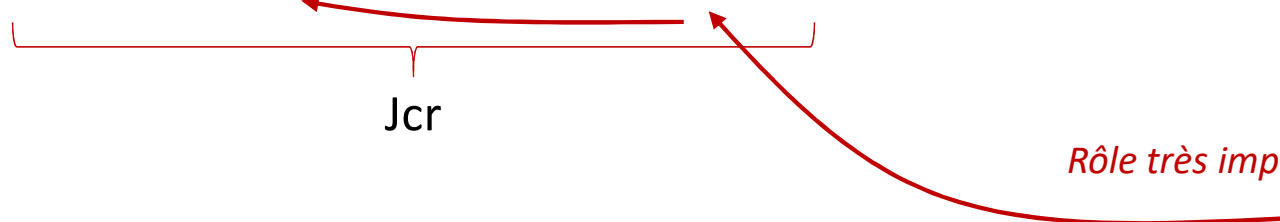
Etude n°3

Inertie ramenée sur axe moteur

$$\frac{1}{2} \cdot Jt \cdot \omega m^2 = \frac{1}{2} \cdot Jm \cdot \omega m^2 + \frac{1}{2} \cdot Ju \cdot \omega m^2 + \frac{1}{2} \cdot Jo \cdot \omega o + \frac{1}{2} \cdot m1 \cdot V^2 + \frac{1}{2} \cdot m2 \cdot V^2$$

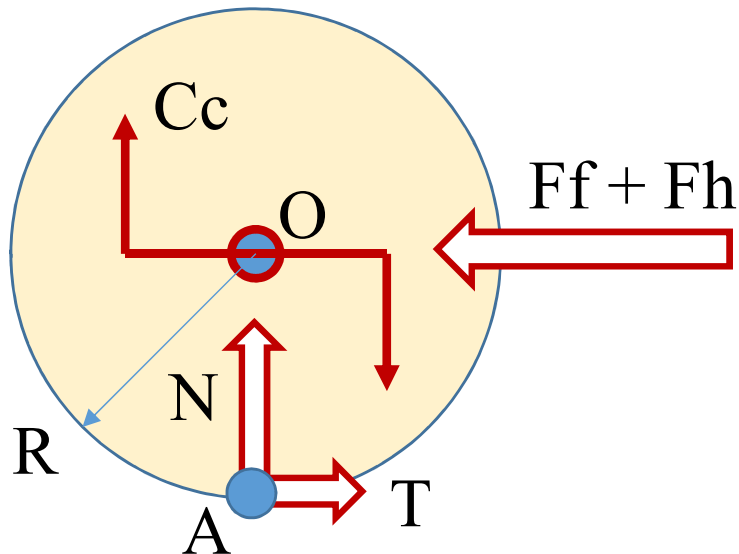
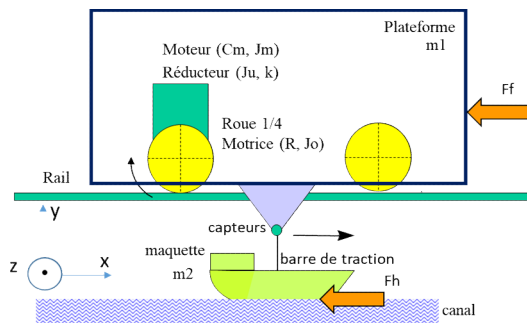
$$\frac{1}{2} \cdot Jt \cdot \omega m^2 = \frac{1}{2} \cdot Jm \cdot \omega m^2 + \frac{1}{2} \cdot Ju \cdot \omega m^2 + 4 * \frac{1}{2} \cdot Jo \cdot k^2 \omega m^2 + \frac{1}{2} \cdot (m1 + m2) \cdot k^2 \cdot R^2 \omega m^2$$

$$Jt = Jm + Ju + 4 \cdot Jo \cdot k^2 + (m1 + m2) \cdot k^2 \cdot R^2$$



Etude n°3

Couple charge ramené sur axe moteur



$$\vec{Cc}(F_h + F_f \text{ en } A) = (F_h + F_f) \cdot R * (\vec{z})$$

$$P_{cr} = C_{cr} \cdot \omega_m = C_c \cdot \omega_o$$

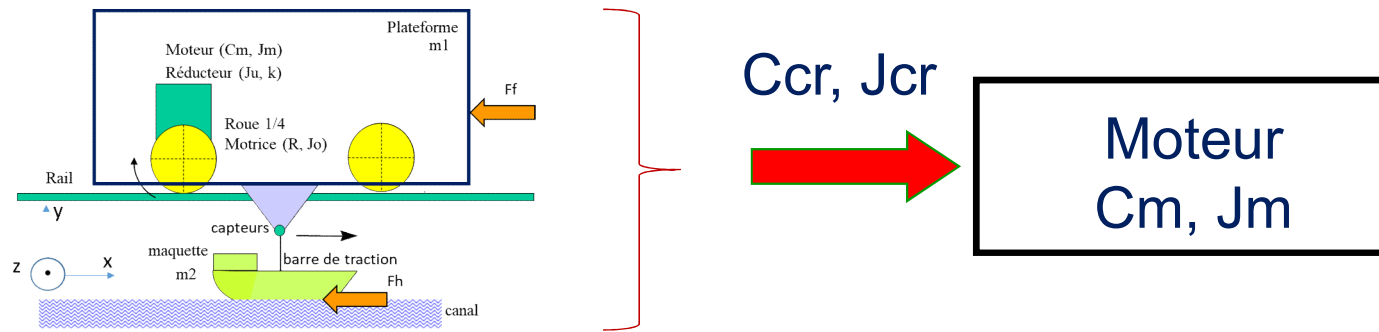
$$C_{cr} = \frac{C_c \cdot \omega_o}{\omega_m}$$

$$\vec{C_{cr}} = (F_h + F_f) \cdot R \cdot k * (\vec{z})$$

Le couple Cc ne dépend pas du point d'observation par définition donc Cc(en A) = Cc(en O).

Etude n°3

PFD appliqué au rotor du moteur en régime transitoire



$$J_t = J_m + J_{cr}$$

En projection sur axe moteur

Sens horaire or z sens trig.

$$\overrightarrow{C_m} + \overrightarrow{C_{cr}} = (J_m + J_{cr}) \cdot \frac{d\omega_m}{dt} * (-\overrightarrow{z})$$

$$-C_m + C_{cr} = -J_t \cdot \frac{d\omega_m}{dt}$$

$$C_m = J_t \cdot \frac{d\omega_m}{dt} + C_{cr}$$

Et $P_m = C_m \cdot \omega_m \dots$

Etude n°3

Application numérique

$$\frac{d\omega_m}{dt} = 10 \text{ rad/s}^2$$

$$Jt = 48,72 \text{ kg.m}^2$$

$$C_{cr} = 27 \text{ N.m}$$

$$C_m = 514 \text{ N.m}$$

$$P_m = 308 \text{ 520 kW}$$

Soit 4 moteurs de 80 kW par exemple, un sur chacune des 4 roues...



